フリップ機構および内蔵センシング空間への誘導機能を 有するバラ積みピッキング用スコップ型ロボットハンド

○西村 斉寛(金沢大学) 大塚 一輝(イードル株式会社) 檜作 大樹 (イードル株式会社)

本研究では,バラ積みされた対象物を複数個まとめて把持し,その状態から1つずつ対象物を プレース可能なロボットハンドシステムを提案する. 提案するロボットハンド機構は、対象物を すくって把持するスコップ部,対象物を1つずつ送り出すフィーダ部,対象物の姿勢を検出する 内蔵センシング部,対象物の表裏を反転させるフリップ部を有している.これらの機能を活用す ることで、事前学習不要かつ低計算コストでありながら、対象物の姿勢補正も含めたバラ積みピ ッキングタスクを達成するロボットシステムを提案する.

1. はじめに

バラ積みピッキングは工業製造,物流,食品製造 などの多くの領域で必要な作業である. ロボットを 用いてバラ積みピッキングを自動化するためには, センサを用いて対象物群の状態を認識し、そのうち の1つをピッキング・プレースするのが一般的な解 決策である[1][2]. それらの手法の場合, 対象物を所 望の姿勢で配置するにはピッキング時に対象物の 姿勢も取得する必要がある.よって、従来のバラ積 みピッキングタスクでは、対象物群の3次元情報を 取得するためのセンサシステムおよび、深層学習な どのモーション生成・把持位置計算アルゴリズムが 必要となり、導入コストが大きくなる点が課題であ る. また、バラ積みピッキングで広く用いられるビ ジョンセンサでは、照明環境の変化が精度に大きく 影響する点も課題である. そこで本研究では, 汎用 的なセンサ(2次元カメラ)と低計算コストでのバ ラ積みピッキングタスクの達成を目指し、ロボット ハンド機構ベースでの解決手法を提案する. そこで, 対象物を1つずつピッキング・プレースするのでは なく、複数個同時にピッキングした後に、1つずつプ レースするという方法論を提案する. そのためのロ ボットハンド機構は,

- ① 対象物をすくって把持するすくい機能
- 対象物を1つずつ送り出すフィーダ機能
- ③ 対象物の姿勢を検出するセンシング機能
- ④ 対象物の表裏を反転させるフリップ機能 を有している. センサレスで複数個の対象物をピッ キングし、フィーダ機能により、対象物を分離させ ながら送り出すことで1つずつのプレースを可能 とする. 送り出し過程においてロボットハンド内部 で対象物の姿勢(表裏)をセンシングし、必要に応 じてフリップ部で対象物を反転させる. この内蔵さ れたセンシング空間では2次元カメラのみを搭載し ており、ロボットハンド内部でセンシングを行うこ とで外部の環境条件の影響を受けにくいセンシン グ環境を構築する. さらにフィーダ機能で対象物の 姿勢を整頓することで、センシングに必要な情報を



図1 対象物

削減し、低コストのセンサ・計算アルゴリズムでの センシングが可能となる. マグネットギアとワンウ ェイクラッチを用いることで、モータ1つでフィー ダ部およびフリップ部の駆動を実現するメカニズ ムを開発した.

2. ロボットハンド構造

2.1 問題設定

本研究では、弁当の自動製造プロセスを想定し、 図1に示すような調味料入りパウチをバラ積み状態 から1つだけプレースする作業を対象とする. その 際、パウチの表面(本稿では商品名が記載されてい る面)が見えるように配置することを要件とする.

2.2 機能要件

提案するロボットハンドの機能要件を示す.

- 複数個の対象物を同時把持し、1つずつのプレ ース可能
- ② 対象物の表裏を検出するセンサシステムを搭 載する
- ③ 対象物の表裏を反転させるフリップ機能を有

ロボットハンドの重量・大きさや、配線を考慮し、 機能要件1と3のためのアクチュエーションはモー タ1つで実現する構造を提案する.

図2に提案ロボットハンドの3D-CADモデルを示 す. 提案ロボットハンドはスコップ部, フィーダ部, フリップ部を有している(図2(a)). 図2(b)の通り, 搭

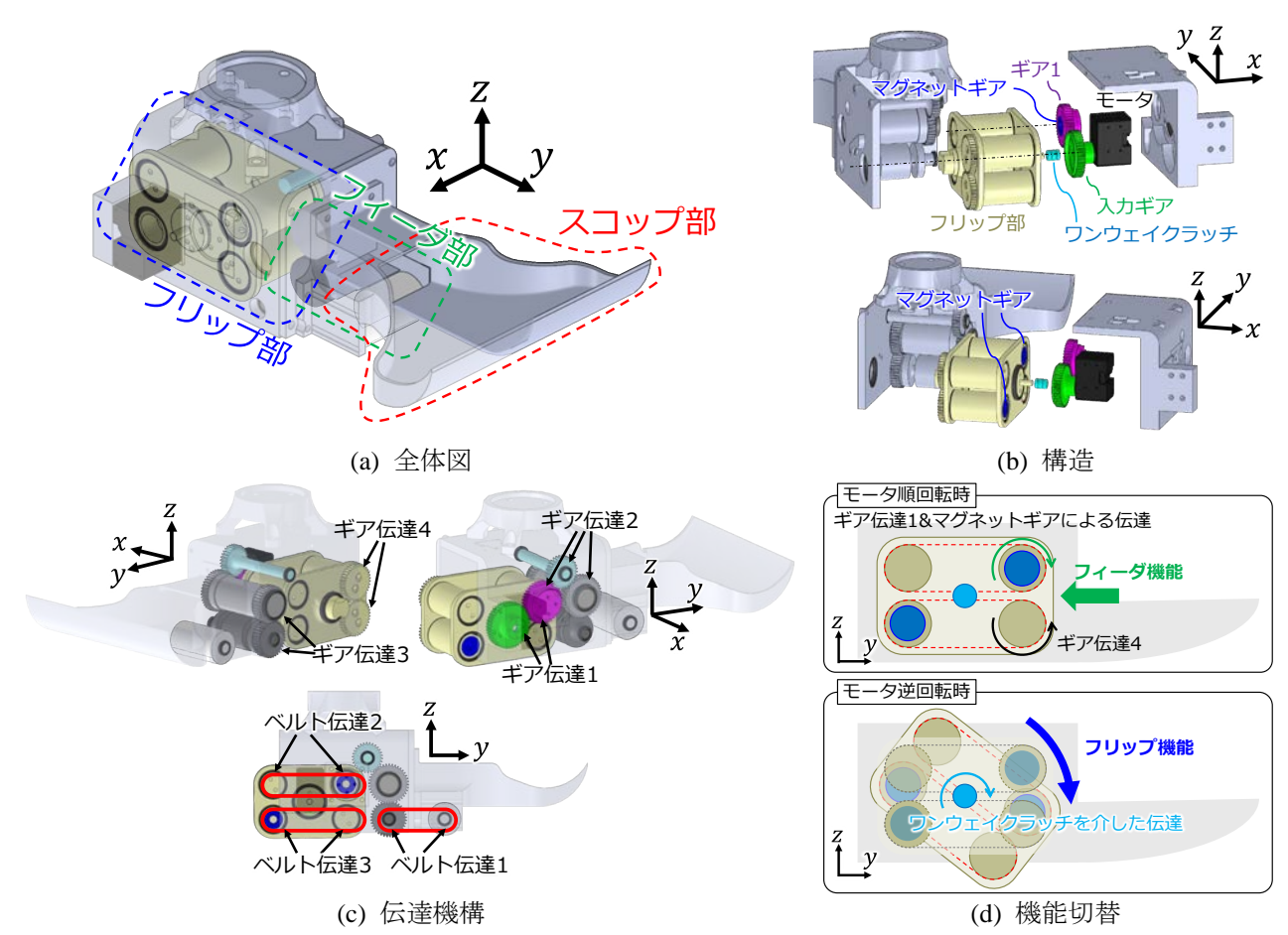


図2 提案ロボットハンド

録したすくい動作モーションと対象物の表裏の画像 $M_f, M_b \in \mathbb{R}^{w \times h \times 3}$,特徴点マッチングのための閾値 θ_{th} が入力パラメータである.対象物群に対してすくい動作を行った後,フィード機能により対象物 1 つを送り込む.フリップに対象物が送り込まれたことの判定と,表裏の判定を搭載されたカメラ画像により行う.時間ステップtにおけるカメラ画像 $M_c(t) \in \mathbb{R}^{w \times h \times 3}$ と M_f, M_b を特徴点マッチングにより比較する. M_f, M_b に対するマッチング量をそれぞれ θ_f, θ_b とすると,どちらかのマッチング量が θ_{th} を超えた場合に,対象物がフリップ部に送り込まれたと判定する.また θ_f, θ_b を比較し, $\theta_f < \theta_b$ であればフリップ動作を行い,表側へのアライメントを実行する.

事前情報:

すくい動作のティーチングモーション 対象物の表裏の画像 M_f , M_b 特徴点マッチングの閾値 θ_{th}

- 1 すくい動作実行
- 2 モータ順回転によるフィード操作
- 3 **While** $\theta_f < \theta_{th}$ and $\theta_h < \theta_{th}$
- 4 カメラ画像*M*_c取得
- θ_f, θ_h 計算
- 6 If $\theta_f < \theta_b$
- 7 | モータ逆回転によるフリップ動作
- 8 モータ順回転によるフィード操作

3. 制御戦略

本提案ロボットハンドによるバラ積みピッキングにおける制御戦略を図3に示す.本戦略では予め記

載された1つのモータには入力ギアが取り付けられ

ている. 入力ギアの回転はギア伝達1, 2, 3およびべ

ルト伝達1によりフィーダ部を駆動させる. これに

より,スコップ部によりすくい上げた対象物をロボ

ットハンド内部に送り込むことが可能となる. フリ

ップ部はワンウェイクラッチを介してモータに接

続されており、フィーダ部が対象物をロボットハン

ド内に送り込む方向にモータを回転(順回転)させ

た際は、フリップ部に回転を伝達しない構造となっ

ている.一方,モータを逆回転させた際は、フリップ部を反転させることができるようにフリップ部

は保持されている. ギア1とフリップ部内のローラ

にはマグネットギアが搭載されており、ギア1の回

転がフリップ部に非接触で伝達される構造となっ

ている. 本構造により, モータが順回転時はフリッ

プ部もフィーダとして機能することから、把持した

対象物を送り出す動作となる. 逆回転時はフリップ

部が回転する. フリップ部の回転中はマグネットギ

アによるトルク伝達は遮断されるが、フリップ部が

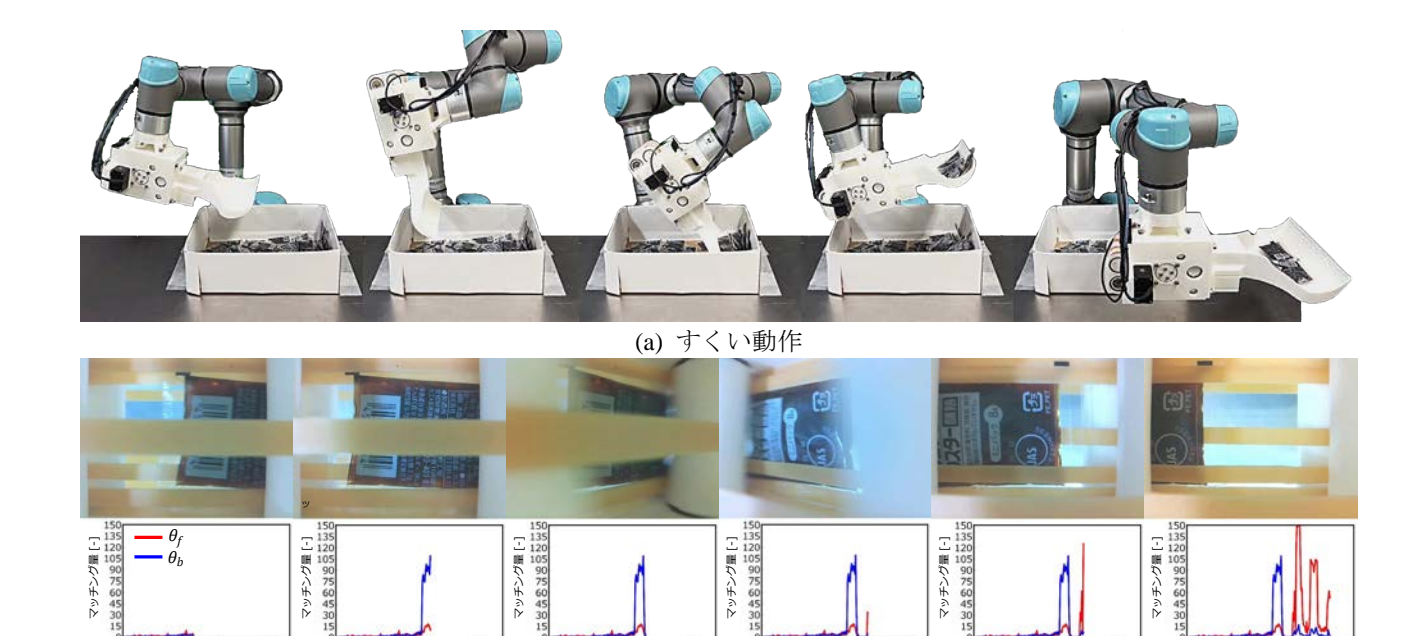
180°回転(反転)した後は再度マグネットギアがか

み合うことでフィーダ部の駆動が復元される(図

2(d)). またフリップ部には送り込まれた対象部をセ

ンシング可能なカメラが取り付けられている.

図3制御戦略



(b) フィード操作とフリップ動作 図 4 バラ積みピッキング実験

4. 実験

時間 [s]

開発したロボットハンドによるバラ積みピッキングの実機実験を行った。結果は図4の通りである。図4(a)の通り、すくい動作により複数個の対象物を把持できている。また、図4(b)は内部カメラによる画像と算出したマッチング量 θ_f 、 θ_b である。対象物がフリップ機構内に送り込まれてくることでマッチング量が増加している。図4(b)は対象物が裏側の状態の結果が示しており、 $\theta_b > \theta_f$ となっている。よってフリップ操作を行うことで表面への姿勢補正を実現できている。

5. おわりに

複数個の物体を同時に把持し、1つずつプレースするという新たなバラ積みピッキング手法が可能なロボットハンドを提案した.機構的に対象物をロボットハンド内部のセンシング空間に送り込むことで対象物情報の取得を容易化し、学習不要でありながら対象物の姿勢整頓まで可能なロボットシステムを開発した.

参考文献

- [1] X. Zhang, Y. Domae, W. Wan, and K. Harada, "Learning Efficient Policies for Picking Entangled Wire Harnesses: An Approach to Industrial Bin Picking," *IEEE Robot. Autom. Lett.*, vol. 8, no. 1, pp. 73–80, 2023,
- [2] Thinker, "Proximity sensor TK-01." https://www.thinker-robotics.co.jp/en/